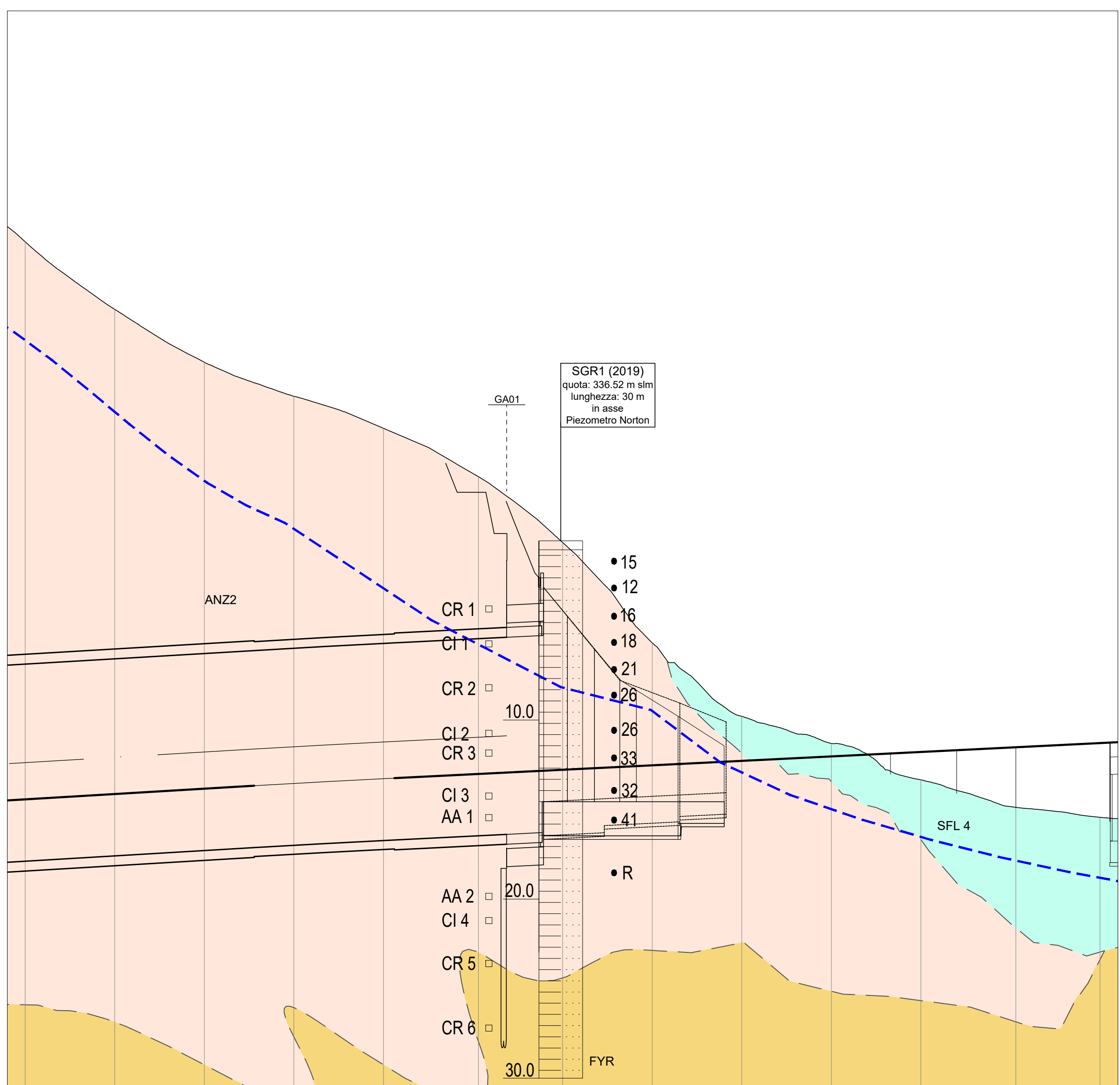


STRALCIO DELLA CARTA GEOLOGICA-GEOMORFOLOGICA - Scala 1:1.000



FOTO DI INQUADRAMENTO DELL'AREA DI IMBOCCO



STRALCIO DEL PROFILO GEOLOGICO - Scala distanze 1:1.000, quote 1:200

Qt.ref. 300.00m	115	114	113	112	111	110	109	108	107	106	105	104	103
N. Sezione	115	114	113	112	111	110	109	108	107	106	105	104	103
Quote Terreno	322.599	322.696	322.811	322.953	323.127	323.333	323.571	323.841	341.100	325.196	325.004	325.267	325.500
Quote Progetto	322.599	322.696	322.811	322.953	323.127	323.333	323.571	323.841	341.100	325.196	325.004	325.267	325.500
Differenza di quota	-0.000	0.000	0.000	0.000	0.000	0.000	0.000	0.000	0.000	0.000	0.000	0.000	0.000
Ettometriche	25.00	25.00	25.00	25.00	25.00	25.00	25.00	25.00	25.00	25.00	25.00	25.00	25.00
Distanze Parziali	25.00	25.00	25.00	25.00	25.00	25.00	25.00	25.00	25.00	25.00	25.00	25.00	25.00
Distanze Progressive	25.00	50.00	75.00	100.00	125.00	150.00	175.00	200.00	225.00	250.00	275.00	300.00	325.00

Legenda

Elementi litologici

a) interpretato; b) carotato/osservato in sondaggio/affiorante

Depositi Quaternari

Depositi eluvio colluviali: 1) spessore <2m; 2) spessore >2m
Limi più o meno argillosi e sabbiosi e subordinati sabbie limose bruno-rossastre ed ocre con frammenti litici prevalentemente calcarei, arenacei e marnosi, derivanti dall'alterazione dei litotipi affioranti. Per spessori inferiori a 2 m (1) il sovrastante si sovrappone alla cartografia del substrato interpretato.

Depositi detritico colluviali: 1) spessore <2m; 2) spessore >2m
Clasti eterometrici spigolosi e subarrotondati, sciolti e con matrice in genere limosa - argillosa da scarsa ad assente, con composizione poligenica legata ai litotipi affioranti sul versante a monte o al contorno. Sono localizzati nelle fasce di versante più acclivi, o nelle zone di raccordo tra il versante e il fondovalle e talvolta sono organizzati in conchi. Per spessori inferiori a 2 m (1) il sovrastante si sovrappone alla cartografia del substrato interpretato.

Depositi alluvionali attuali e recenti
Ghiaie da noccia a grigie, talvolta sciolte; limi più o meno sabbiosi e ghiaiose da noccia a grigie, talvolta sciolte; limi più o meno sabbiosi e ghiaiose da noccia a grigie, talvolta sciolte. Sono localizzati a diverse quote nei fondovalle principali e sui versanti ed organizzati in più ordini di terrazzi.

Depositi alluvionali antichi
Ghiaie da noccia a grigie, talvolta sciolte; limi più o meno sabbiosi e ghiaiose da noccia a grigie, talvolta sciolte; limi più o meno sabbiosi e ghiaiose da noccia a grigie, talvolta sciolte. Sono localizzati a diverse quote nei fondovalle principali e sui versanti ed organizzati in più ordini di terrazzi.

Depositi vulcanoclastici
Piroclastici, cenici e cenici incoerenti localmente rimaneggiati e pedogenizzati, con spessore affiorante minore di 1 m.

Sistema del Fiume Calore
SUB-sistema del F. Uffia
Limi di argille più o meno sabbiose da marrone a noccia; sabbie limose - ghiaiose ricche in ciottoli fino a pluricentrici arrotondati e subarrotondati; ghiaie sabbiose - limose noccia con clasti pluricentrici poligenici arrotondati, subarrotondati ed a spigoli vivi. Depositi in genere mediamente consolidati/cementati. Localizzati prevalentemente nella Conca di Grottaferrata e di Apice ed a diverse quote lungo il versante.

Subsistema di Benevento (Pleistocene medio - sup.)
Detrito di versante che ricopre direttamente il substrato, depositi colluviali e corpi di frana detritici.

Subsistema di Capodimonte (Pleistocene medio)
Ghiaie, conglomerati, ghiaie sabbiose eterometriche poligeniche, molto addensate, con intercalazioni lenticolari di sabbie e peliti. Alluvioni anche terrazzate, in più ordini, fino a 70-80 m sull'asse attuale. Spessore: da alcuni m a qualche decina di m.

Subsistema di Castello del Lago (Pleistocene medio)
Ghiaie eterometriche poligeniche con lenti di sabbie e peliti. Depositi fluviali e lacustri antichi. Spessore: circa 10-100 m.

Substrato Pre Quaternario

Supersistema di Arzano Irpino
Formazione della Baronia
Membro di Agulosa (Pliocene inf.)
Alternanze più o meno regolari in strati metrici di arenarie ocre e giallastre poco cementate litiche e quarzose - litiche da medie a grossolane; sabbie quarzose - felsopatiche giallastre più o meno compatte da fini a medie, ricche in resti di gusci di ostrici e peccinidi, talora con matrice silicea. Visibile laminazione incrociata e strutture da corrente. Presenti noduli sferoidali di selce.
Interstrati da centimetrici a decimetrici di marne, silti ed argille grigie. Alternanze metriche - plurimetriche di sabbie grigie da fini a grossolane più o meno siltose, in genere poco cementate e di argille più o meno limose grigie e marne grigie (BNA3a), talvolta con interstrati centimetrici di sabbie fini grigie e/o ocre; stratificazione in genere mal definita. Presenti sporadici travertini di arenarie litoidi grigie. Spessore massimo 400 m.

BNA2
Litofacies pelitica (Pliocene inf.)
Argille più o meno siltose e marnose grigie; silti più o meno argillosi e sabbiosi grigi; marne in genere litoidi grigie. Intensamente bioturbate, talvolta con resti di gusci di molluschi; stratificazione in genere mal definita. Interstrati di sabbia più o meno limosa da fine a media grigia, in genere poco addensate, di spessore decimetrico.
Alternanze metriche - plurimetriche di silti argillosi, argille marnose e sabbiose grigie consolidate e di strati arenarie grigie cementate e litoidi. Spessore massimo 250 - 700 m.

BNA1b
Membro dei conglomerati e delle sabbie di S. Sossio Baronia (Pliocene inf.)
LITOFACIES SABBIOSA - Arenarie e sabbie da cementate a poco cementate grigie - giallastre, siliceo-clastiche, da fini a medie, in strati di potenza da decimetrica a metrica con interstrati cm-cm di argille e silti da giallastri a grigi. Localmente intensamente bioturbate. Spessore massimo 400 m.

ANZ2
Gruppo di Altavilla
Molasse di Anzano
Membro di Flumen (Messiniano sup.)
Arenarie siliceo-clastiche giallastre da poco a mediamente cementate e sabbie siltose ocre poco cementate, in strati di potenza fino a pluridecimetrica, alternate a silti e marne grigie in strati di potenza cm-dm. Alternanze regolari pluridecimetriche di arenarie medio fini grigie e marne più o meno calcaree grigie (ANZ2).
Argille marnose e siltose sabbiose grigie con interstrati sabbiosi ocreo millimetrici (ANZ2a).
Alta base della successione argille siltose e marnose da grigio chiaro a grigio scuro e subordinate marne grigie più o meno litoidi, con stratificazione in genere mal definita. Sporadici livelli decimetrici a matrice sabbiosa. Spessore massimo 250 m.

PCL
Formazione del Vallone di Ponticello (Serravallo med. - tortoniano med. sup.)
Alternanze di arenose a grana medio-fine, marne e marne calcaree biancastre e grigio-verdi, peli giallo-bruno laminate in strati medio sottili ed ancora sabbie quarzose litiche ad elementi spesso angolosi, con sottili ed estese lenti di paraconglomerati poligenici a ciottoli subarrotondati superiori al centimetro. Subordinatamente sono parzialmente ricristallizzate e di ortoconglomerati poligenici ben cementati. I meccanismi deposizionali sono da riferire a flussi granulari e correnti di torbida.
I rapporti con le unità a tetto ed a letto non sono sempre ben visibili; l'appoggio basale sulle successioni numidiche e post numidiche è ritenuto stratigrafico discordante. Potenza affiorante circa 200m.

Unità tettonica di Frigento
Formazione del Fiume Rosso (Cretacico sup. - Burdigaliano inf.)
Unità a dominante argilloso - marnosa (FYR)
Argille e argille marnose da rosso-verdastre a grigio scuro, in alternanze centimetrico-millimetriche. Le strutture sedimentarie osservabili sono una blanda laminazione piano parallela e talora una struttura fasser nodulare. Nella parte sommitale dell'unità si osserva la comparsa di materiale siliceo-clastico siltoso e arenoso; soltanto localmente si possono osservare livelli decimetrico-metrici di litareniti ricche in quarzo. Questa unità occupa mediamente la parte intermedia e sommitale della formazione. Spessore massimo 800 m secondo quanto riportato nel CARG.

Depositi calcarei (FYR del Foglio 433)
Argille e argille marnose con intervalli siltoso-arenitici con elementi angolosi da centimetrici a pluri-decimetrici ed in alcuni casi metrici/plurimetrici di calcari micritici sottili debolmente allozati a radiolari e spicole di spongia, calcari micritici bianchi, con rari foraminiferi planctonici, calcareniti ben selezionate, a cemento spatico, contenenti foraminiferi bentonici e frammenti di gusci di bivalvi, calcareniti a grana fine con piccoli foraminiferi, marne calcaree grigialtre a foraminiferi planctonici e argille verdastre. Sono state individuate 3 litofacies sulla base della percentuale di abbondanza e delle dimensioni degli elementi rudici osservati nelle carote di sondaggio:
• Litofacies argilloso-marnosa (FYRca): argille, argille marnose e argille siltoso-arenitiche in cui la matrice rappresenta il 90% del deposito e gli elementi rudici di dimensioni cm-cm il 10% circa.
• Litofacies argilloso-marnosa ad elementi rudici (FYRcb): argille, argille marnose e argille siltoso-arenitiche in cui la matrice rappresenta il 60-80% del deposito e gli elementi rudici di dimensioni cm e pluri-cm il 20-40% circa.
• Litofacies rudica a matrice argilloso-marnosa (FYRcc): costituita fino al 60% da elementi rudici di dimensioni da pluri-cm fino a metriche e da argille, argille marnose e argille siltoso-arenitiche per il restante 40% circa.

Membro calcareo (FYR2)
Calciruditi e calcareniti a cemento spatico in strati di spessore metrico, con locali intercalazioni decimetrico - metriche di argille limose rosso o verdastre. I livelli calcarei hanno base erosiva e/o netta e talvolta sono gradati in modo molto grossolano. Si tratta di granitoidi-rudite in cui i blocchi sono costituiti in prevalenza da frammenti di gusci di bivalvi, gasteropodi, macroforaminiferi, foraminiferi planctonici e bentonici, alghe rosse coralliniformi. I fossili determinabili macroscopicamente sono Nummulites sp., Operculina tipo complanata, Globobulimina sp., Globobulimina sp.

Localmente il membro (cava loc. Ortice) è rappresentato da una breccia calcarea, prevalentemente monogenica, ad elementi centimetrici e pluri-centimetrici di calcari micritici di colore bianco. La stratificazione quando osservabile è da metrica a pluri-metrica; sono presenti inoltre foci sedimentari costituiti in prevalenza da depositi argillosi verdastri e breccie calcaree centimetrico-millimetriche.

Elementi geomorfologici

Forme e processi gravitativi

Depositi di frana

Orlo di scarpata secondaria all'interno del corpo di frana

a) certo/definito b) presuntivo/mai definito

attivo quiescente stabilizzato

Nicchia principale di frana

a) certa/definita b) presuntiva/mai definita

attivo quiescente stabilizzato

Colamento

attivo quiescente stabilizzato

Crodo

attivo quiescente stabilizzato

Scivolamento rotazionale/traslativo

Movimento complesso

Area interessata da siflusso

Scarpata di denudamento / degradazione

Grossi blocchi isolati

Area a grossi blocchi

Depressione morfologica

Orlo di scarpata di degradazione/denudamento

Opzione

Depositi Vulcanoclastici

Forme legate alla dinamica dei corsi d'acqua

Orlo di scarpata fluviale attuale e recente

Orlo di scarpata fluviale antico

Orlo di scarpata di erosione regressiva

Conoidi alluvionale e detritico-alluvionale

Erosione lineare concentrata

Impulivo: a) attivo; b) stagionale

Area umida

Simboli geologici e morfostrutturali

Roccia di faglia/zona di danneggiamento

Ammasso fratturato

Ammasso detentato e/o rilasciato

Faglia: a) certa; b) presunta/interpretata da fotolineamento

Fotolineamento

Sovraccorrimiento: a) certo; b) interpolato

Limite geologico: a) di affioramenti e limiti litologici certi; b) supposti e limiti di affioramenti parzialmente discordanti ove non è possibile determinare la giacitura degli strati

Linee in tomografia elettrica 2D con ripetizione nel tempo (elapsed time)

Stendimento sismico a rifrazione (nella zona della frana Grottaferrata anche a rifrazione e geoelettrica)

Linee in tomografia elettrica 2D con ripetizione nel tempo (elapsed time)

Linee in tomografia elettrica 2D con ripetizione nel tempo (elapsed time)

Linee in tomografia elettrica 2D con ripetizione nel tempo (elapsed time)

Linee in tomografia elettrica 2D con ripetizione nel tempo (elapsed time)

Linee in tomografia elettrica 2D con ripetizione nel tempo (elapsed time)

Linee in tomografia elettrica 2D con ripetizione nel tempo (elapsed time)

Linee in tomografia elettrica 2D con ripetizione nel tempo (elapsed time)

Linee in tomografia elettrica 2D con ripetizione nel tempo (elapsed time)

Linee in tomografia elettrica 2D con ripetizione nel tempo (elapsed time)

Linee in tomografia elettrica 2D con ripetizione nel tempo (elapsed time)

Linee in tomografia elettrica 2D con ripetizione nel tempo (elapsed time)

Linee in tomografia elettrica 2D con ripetizione nel tempo (elapsed time)

Linee in tomografia elettrica 2D con ripetizione nel tempo (elapsed time)

Linee in tomografia elettrica 2D con ripetizione nel tempo (elapsed time)

Linee in tomografia elettrica 2D con ripetizione nel tempo (elapsed time)

Linee in tomografia elettrica 2D con ripetizione nel tempo (elapsed time)

Linee in tomografia elettrica 2D con ripetizione nel tempo (elapsed time)

Linee in tomografia elettrica 2D con ripetizione nel tempo (elapsed time)

Linee in tomografia elettrica 2D con ripetizione nel tempo (elapsed time)

Linee in tomografia elettrica 2D con ripetizione nel tempo (elapsed time)

Linee in tomografia elettrica 2D con ripetizione nel tempo (elapsed time)

Linee in tomografia elettrica 2D con ripetizione nel tempo (elapsed time)

Linee in tomografia elettrica 2D con ripetizione nel tempo (elapsed time)

Linee in tomografia elettrica 2D con ripetizione nel tempo (elapsed time)

Linee in tomografia elettrica 2D con ripetizione nel tempo (elapsed time)

Linee in tomografia elettrica 2D con ripetizione nel tempo (elapsed time)

Linee in tomografia elettrica 2D con ripetizione nel tempo (elapsed time)

Linee in tomografia elettrica 2D con ripetizione nel tempo (elapsed time)

Linee in tomografia elettrica 2D con ripetizione nel tempo (elapsed time)

Linee in tomografia elettrica 2D con ripetizione nel tempo (elapsed time)

Linee in tomografia elettrica 2D con ripetizione nel tempo (elapsed time)

Linee in tomografia elettrica 2D con ripetizione nel tempo (elapsed time)

Linee in tomografia elettrica 2D con ripetizione nel tempo (elapsed time)

Linee in tomografia elettrica 2D con ripetizione nel tempo (elapsed time)

Linee in tomografia elettrica 2D con ripetizione nel tempo (elapsed time)

Linee in tomografia elettrica 2D con ripetizione nel tempo (elapsed time)

Linee in tomografia elettrica 2D con ripetizione nel tempo (elapsed time)

Linee in tomografia elettrica 2D con ripetizione nel tempo (elapsed time)

Linee in tomografia elettrica 2D con ripetizione nel tempo (elapsed time)

Linee in tomografia elettrica 2D con ripetizione nel tempo (elapsed time)

Linee in tomografia elettrica 2D con ripetizione nel tempo (elapsed time)

Linee in tomografia elettrica 2D con ripetizione nel tempo (elapsed time)

Linee in tomografia elettrica 2D con ripetizione nel tempo (elapsed time)

Linee in tomografia elettrica 2D con ripetizione nel tempo (elapsed time)

Linee in tomografia elettrica 2D con ripetizione nel tempo (elapsed time)

Linee in tomografia elettrica 2D con ripetizione nel tempo (elapsed time)

Linee in tomografia elettrica 2D con ripetizione nel tempo (elapsed time)

Linee in tomografia elettrica 2D con ripetizione nel tempo (elapsed time)

Linee in tomografia elettrica 2D con ripetizione nel tempo (elapsed time)

Linee in tomografia elettrica 2D con ripetizione nel tempo (elapsed time)

Linee in tomografia elettrica 2D con ripetizione nel tempo (elapsed time)

Linee in tomografia elettrica 2D con ripetizione nel tempo (elapsed time)

Linee in tomografia elettrica 2D con ripetizione nel tempo (elapsed time)

Linee in tomografia elettrica 2D con ripetizione nel tempo (elapsed time)

Linee in tomografia elettrica 2D con ripetizione nel tempo (elapsed time)

Linee in tomografia elettrica 2D con ripetizione nel tempo (elapsed time)

Orlo di scarpata di origine tettonica

Stratificazione: immersione/inclinazione

Faglia e sovraccorrimiento: immersione/inclinazione

Conoidi alluvionale e detritico-alluvionale

Scarpata di denudamento / degradazione

GDP_01 Punt di misura strutturali

Altri simboli

Traccia sezione geologica-geomorfologica

Traccia in progetto

Cava

Orlo di scarpata di origine antropica

Viabilità

Canale

Canale